

日本鋼管(株) (正) 斎藤 豊

" " 三浦 勇七

" " ○若松 精次

1. はじめに

日本鋼管(株)では、扇島第2高炉に群グイ基礎を採用している。その設計に際しての主な問題点は、群グイの水平方向抵抗の低減についてであった。この分野の研究は、理論解析や模型実験などにより試みられているが、まだ未解明な点も多いといえる。ここに報告する内容は、実際の設計の基礎データを得るために行なった数値解析についてである。この解析は、土の非線形性を考慮した3次元の有限要素法を用いて、水平荷重を受ける群グイの水平抵抗の分担率、各クイの分担荷重などを求めたものである。

2. 解析手法と有限要素モデルについて

本解析では、手法および有限要素モデルについては、次のように考えている。(1) 手法は、Duncan, Chang による非線形解析法である。これは Kondrati によって提唱された双曲螺心・ヒズミ関係から、土質材料を非線形弾性体として定式化されたものである。(参考文献)

(2) 群グイを形成する各クイ列は、水平荷重に対して異なる挙動を示すが、クイ列が多い場合、その挙動は、図.1に示すように単列グイと無限列グイに分けて考えることができる。有限要素モデルは、この2種類の群グイをモデル化している。(3) クイ本数(N)は、1, 3, 5本の3種類とし、ク

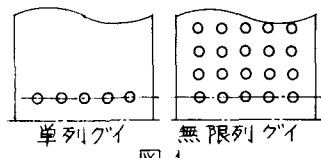


図.1

イ間隔(R)はクイ径の2.5, 3.0, 3.5倍とする。以上の各ケースについて解析した。(4) クイ要素は、鋼管グイ($\phi 144.4 \times 16.0$)と等価な曲げ剛性をもつ直方体に置換している。(5) クイヒーチングはピン結合であるとし、各クイ頭部は、ヒーチングの剛性を評価して両端ピンの大断面の梁部材で連結している。(6) クイ頭に作用させる水平荷重(H)は最大60t/本とし、20, 40, 60t/本の3ステップで行なった。

3. 地盤について

建設地点の土質調査試験結果から、モデル地盤を砂層2層、粘土層2層の4層地盤とした。地盤の応力ヒズミの関係は、次式による。(参考文献)

$$E_t = K \cdot P_a \cdot \left(\frac{\sigma_3}{P_a} \right)^n \cdot \left\{ 1 - \frac{R_f (1 - \sin \phi)}{2C \cos \phi + 2 \sigma_3 \sin \phi} \right\}^2 \quad \cdots (1)$$

$$\nu_t = \frac{G - F \cdot \log \left(\frac{\sigma_3 / P_a}{1 - d(\sigma_1 - \sigma_3) / E_t} \right)}{E_t} \quad \cdots (2)$$

$$E_{ur} = K_{ur} \cdot P_a \cdot \left(\frac{\sigma_3 / P_a}{1 - d(\sigma_1 - \sigma_3) / E_t} \right)^n \quad \cdots (3)$$

層	層厚 (m)	K	Kur	n	Rf	C (t/m ²)	ϕ	G	F	d	γ (t/m ³)
1 砂層	5.0	330	495	0.5	0.8	-	30°	0.45	0	0	0.9
2 砂層	10.5	440	660	0.5	0.8	-	35°	0.45	0	0	0.9
3 粘土層	14.5	80	120	0.5	0.7	4.5	-	0.48	0	0	0.65
4 粘土層	280	110	165	0.5	0.7	11.0	-	0.48	0	0	0.65

表.1 地盤の諸定数

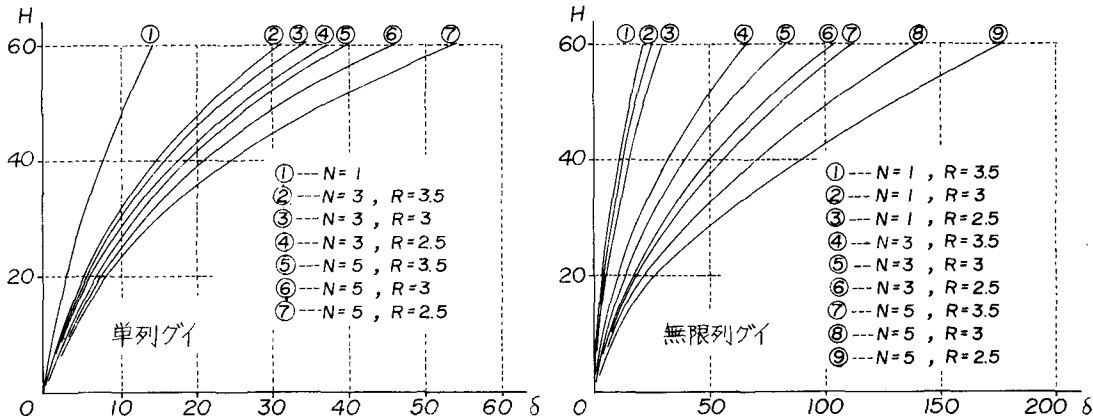
E_t , ν_t および E_{ur} は、接線弾性係数、接線ポアソン比および再除荷時弾性係数、K, Kur および Rf は、応力ヒズミの関係を表わすための係数、G, F および d はポアソン比を表わすための係数、 P_a は応力と同じ単位で表された大気圧、 σ_1 と σ_3 は最大主応力と最小主応力、C は粘着力と内部摩擦角である。解析に用いた地盤の諸定数を表.1に示す。

4. 解析結果と考察

(1) 水平荷重ヒクイ頭変位の関係 (図2)

変位は、単列グイ、無限列グイとともに任意の水平荷重に対して、荷重作用方向のクイ本数が多くなるほど、ク

クイ間隔が小さくなるほど大きい値を示す。無限列グイと単列グイの変位の比は、荷重作用方向のクイ本数が多くなるほど、クイ間隔が小さくなるほど大きくなる。

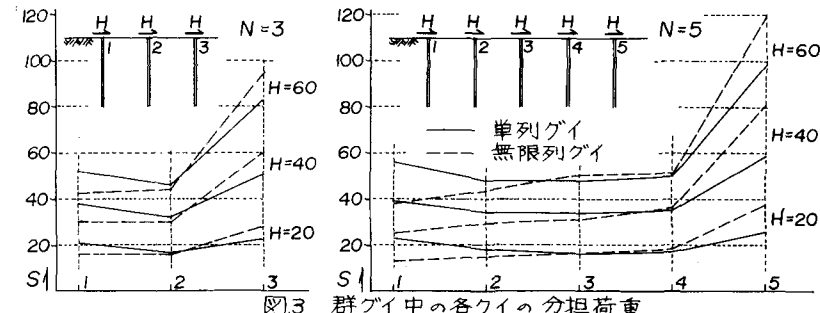


$$S = \text{クイ頭水平変位 (mm)}, R = \frac{\text{クイピッチ}}{\text{クイ直径}}, N = 1\text{列当りのクイ本数 (本)}, H = \text{クイ1本当りの水平荷重 (t)}$$

図.2 水平荷重 - クイ頭変位

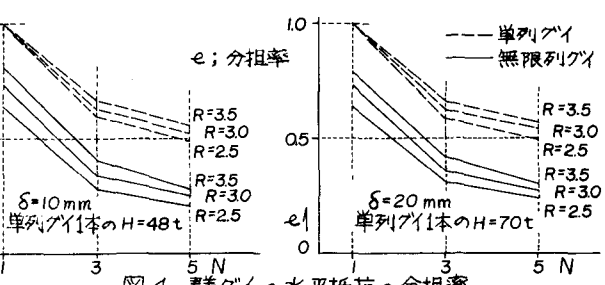
(2) 群グイ中の各クイの分担荷重 (図3, R=3.0のケースを示す。)

群グイ中の各クイが、分担する荷重(S)と作用荷重(H)との比(B)は最前面グイでは1以上となり、Hの増加に伴ないSは著しく増加する。中間グイのBは、単列グイでは、ほぼ等しいが、無限列グイでは、最前面グイに近いクイほど大きくなる傾向にあり、Hが大きく、Nが多くなるほど著しい。



(3) 群グイの水平抵抗の分担率 (図4)

群グイに作用する水平荷重と単列1本グイに作用する水平荷重との比を、群グイの水平抵抗の分担率と呼ぶ。この解析では、クイ頭変位が10および20mmの場合について求めた。分担率は荷重作用方向および、その直角方向のクイと地盤の相互の影響を受けることがわかる。また分担率は、Nが多くなるにつれて、一定値に収束する傾向を示す。



5. むすび

以上、この解析からは次の事がいえる。(1) 水平荷重の分担は最前面グイおよび、それに近いグイに於て、著しく大きくなる。(2) クイ本数が多い場合の分担率は単列グイで0.5、無限列グイで0.25程度となる。

本解析では、地盤の諸定数の決め方などに、検討をする点もあり、直ちにこの結果を適用するには、問題もあるが、実設計では、以上のデータを参考に対処している。

参考文献 Duncan & Chang "Nonlinear Analysis of Stress and Strain in Soils." ASCE Vol.96 No. SM5 (1970)